

偶偶 Ge 和 Se 同位素核的形变 HF 态 及负宇称带研究*

徐延冰 廖继志

(四川大学物理系 成都 610064)

摘要 将具有负宇称的 fp 轨道空间扩大到包含具有正宇称的 $1g_{9/2}$ 轨道, 采用修正的表面 δ 相互作用, 对 ^{64}Ge , ^{66}Ge , ^{68}Ge , ^{70}Se , ^{72}Se 和 ^{74}Se 等 6 个偶偶核做了形变 HF 计算。得到了基态和一些激发态的解。同时, 还用近似角动量投影形变 Hartree-Fock (PDHF) 方法, 对 ^{64}Ge 和 ^{74}Se 进行了能谱计算, 得到其正、负宇称带的解, 计算结果与实验谱基本一致。

关键词 形变 HF 态 角动量投影 单粒子能谱 负宇称带

1 引言

偶偶核中的负宇称激发带是一种常见的核结构现象, 一直受到人们的关注。本文的主要目的是从微观角度研究这一问题。我们曾用形变 Hartree-Fock (HF) 方法, 对 fp 壳层区核的性质和能谱做了大量研究并取得了成功, 这说明在该质量区使用该方法研究核结构是成功的^[1,2]。近来, 我们在 fp 壳层的基础上, 加入具有正宇称的 $1g_{9/2}$ 轨道来研究偶偶核中的负宇称带, 基本设想是: 当任一轨道上的一对质子(中子)拆开, 且其中之一跃迁到具有相反宇称的轨道时, 就出现负宇称带。发现理论计算与实验数据吻合较好。这里主要讨论采用修正的表面 δ 相互作用 (MSDI) 对 ^{64}Ge , ^{66}Ge , ^{68}Ge , ^{70}Se , ^{72}Se 和 ^{74}Se 等 6 个偶偶核的研究结果。首先计算出它们的一些 HF 内禀态, 然后对 ^{64}Ge 和 ^{74}Se 核的内禀态用单参数 Gauss 近似方法进行角动量投影, 得到了它们的基态带及一些激发带包含负宇称带的能谱, 并与实验能谱做了比较。

2 基本理论

关于计算形变 HF 态和近似角动量投影的方法细节在文献[1—3]中已有详细说明,

2001-07-05 收稿

* 国家自然科学基金(19875040)资助

这里只给出计算中最必要的公式. 偶偶 Ge, Se 核在双幻核 $^{40}\text{Ca}_{20}$ 外面的 A 个外围核子的二次量子化哈密顿算符为

$$H = \sum_{\alpha\beta} \langle \alpha | H_0 | \beta \rangle a_\alpha^+ a_\beta + \frac{1}{2} \sum_{\alpha\beta\gamma\delta} \langle \alpha\beta | V | \gamma\delta \rangle a_\alpha^+ a_\beta^+ a_\delta a_\gamma.$$

其中 H_0 为单体部分, V 是两体相互作用. a^+ , a 分别是产生算符和湮没算符. H_0 取成球形壳模型单粒子哈密顿算符. 单粒子态系 $|\lambda\rangle$ 满足的 HF 方程是

$$\langle \alpha | h | \beta \rangle = \langle \alpha | H_0 | \beta \rangle + \sum_{\lambda=1}^A \langle \alpha\lambda | V | \bar{\beta}\lambda \rangle = \epsilon_\alpha \delta_{\alpha\beta},$$

式中 ϵ_α 是单粒子态 $|\alpha\rangle$ 的单粒子能, $|\bar{\beta}\lambda\rangle = |\beta\lambda\rangle - |\lambda\beta\rangle$. 态 $|\lambda\rangle$ 用球形壳模型单粒子态 $|\text{nljm}\tau_z\rangle$ (H_0 的本征态) 来展开, 即

$$|\lambda; k = m_\lambda\rangle = \sum_j C_{m_\lambda}^j |jm_\lambda\rangle,$$

对 j 的求和限于 fpg 壳层的 5 个态 $1f_{7/2}, 1f_{5/2}, 2p_{3/2}, 2p_{1/2}$ 和 $1g_{9/2}$ 态. 利用 C-G 系数进行耦合变换, 则可得到 h 在 $|\text{nljm}\tau_z\rangle$ 表象中的矩阵元表达式

$$\begin{aligned} \langle jm | h | j'm \rangle = e_j \delta_{jj'} + & \sum_{\lambda=1}^B \sum_{j_2 j_3} C_{m_\lambda}^j C_{m_\lambda}^{j'} \frac{1}{2} \sum_j (jm j_2 m_\lambda | JM) (j' m j_3 m_\lambda | JM) \times \\ & [\langle j j_2 J 1 | V | j' j_3 J 1 \rangle_a + \langle j j_2 J | T_{i_\lambda} | V | j' j_3 J | T_{i_\lambda} \rangle_a] + \\ & \frac{1}{2} \sum_{\lambda=B+1}^A \sum_j [(jm 9/2 m_\lambda^+ | JM) (j' m 9/2 m_\lambda^+ | JM) + \\ & (jm 9/2 - m_\lambda^+ | JM) (j' m 9/2 - m_\lambda^+ | JM)] \times \\ & [\langle j 9/2 J 0 | V | j' 9/2 J 0 \rangle_a + 3 \langle j 9/2 J 1 | V | j' 9/2 J 1 \rangle_a], \end{aligned} \quad (4)$$

式中第一部分的 e_j 是 H_0 的本征值, 即球形壳模型单粒子能; 第二部分是 fp 轨道中的 B 个核子的贡献, $\langle j j_2 JT | V | j' j_3 JT \rangle_a$ 是 JT 表象中的反对称化的两体矩阵元; 第三部分是 $1g_{9/2}$ 态中第 $B+1$ 到第 A 个核子对 h 在 $|\text{nljm}\tau_z\rangle$ 表象中的矩阵元的影响. 将(4)式组成的矩阵对角化, 同时利用自洽迭代的方法, 便可得到全部单粒子态 $|\lambda\rangle$ 和其对应的单粒子能 ϵ_λ (以 ^{40}Ca 基态能为能量零点). 归一化的投影态和投影态的能量分别是

$$|\Phi_{\sigma K}^I\rangle = \hat{P}_{\sigma K}^I |\Phi_{\sigma K}\rangle / \sqrt{p_{\sigma K}^I}; p_{\sigma K}^I = \langle \Phi_{\sigma K} | \hat{P}_{\sigma K}^I | \Phi_{\sigma K} \rangle, \quad (5)$$

$$E_{IK} = h_{IK}^I / p_{\sigma K}^I, \quad h_{IK}^I = \langle \Phi_{\sigma K} | \hat{H} \hat{P}_{\sigma K}^I | \Phi_{\sigma K} \rangle, \quad (6)$$

这里, $\hat{P}_{\sigma K}^I$ 为角动量投影算符, $|\Phi_{\sigma K}\rangle$ 是轴对称 HF 内禀态, K 为角动量在对称轴上的投影量子数, σ 代表组态. $p_{\sigma K}^I$ 和 h_{IK}^I 的表达式可在文献[1—3]中找到. 在高斯近似下, $p_{\sigma K}^I$ 和 h_{IK}^I 可通过参量 Γ_p 和 Γ_h 计算, 这里参量 Γ_p 和 Γ_h 分别为

$$\Gamma_p = 2 / \langle \Phi_K | I_y^2 | \Phi_K \rangle, \quad (7)$$

$$\Gamma_h = 2 E_{HF} / \langle \Phi_K | H I_y^2 | \Phi_K \rangle. \quad (8)$$

用(7)式严格计算 Γ_p , 把 Γ_h 作为可调参量 (E_{HF} 已由 HF 计算得到), 由(6)式便可算出投影能量, 从而得到原子核的基态及激发态能谱.

3 计算结果与讨论

首先,我们在 $1f_{7/2}, 1f_{5/2}, 2p_{3/2}, 2p_{1/2}$ 和 $1g_{9/2}$ 空间以 $^{40}\text{Ca}_{20}$ 为核心计算了 $^{64,66,68}\text{Ge}$ 和 $^{70,72,74}\text{Se}$ 核的一些形变 HF 内禀态。在 HF 计算中,核子间的相互作用采用 MSDI^[4],强度参数为 $A_1 = 0.70, A_0 = 0.52, B = 0.35$ 和 $C = 0.03$ 球形壳模型单粒子能^[4-7]取为 $e_{7/2} = -8.36, e_{5/2} = -5.78, e_{3/2} = -5.83, e_{1/2} = -5.15, e_{9/2} = -0.05$ (单位为 MeV),迭代过程中不区分质子和中子,Ge 和 Se 的库仑能^[8]分别取为 72.09 和 96.09MeV。迭代精度 $\eta = 10^{-3}-10^{-4}$ 。

表 1 给出了同位素核基态的形状、结合能的实验值 $E_{\text{exp}}^{[9]}$ 、内禀基态的 HF 总能量,及两者之差 ΔE 。结果表明,在该区域内 ^{64}Se 为球形,其余各核基态形状除 ^{72}Se 外都是扁椭球形,在 $A = 72$ 处出现形状过渡;结合能的实验值与理论计算的 HF 能符合较好。

图 1 是偶偶 Ge,Se 同位素原子核的基态单粒子能级图(^{40}Ca 核心以外部分),单粒

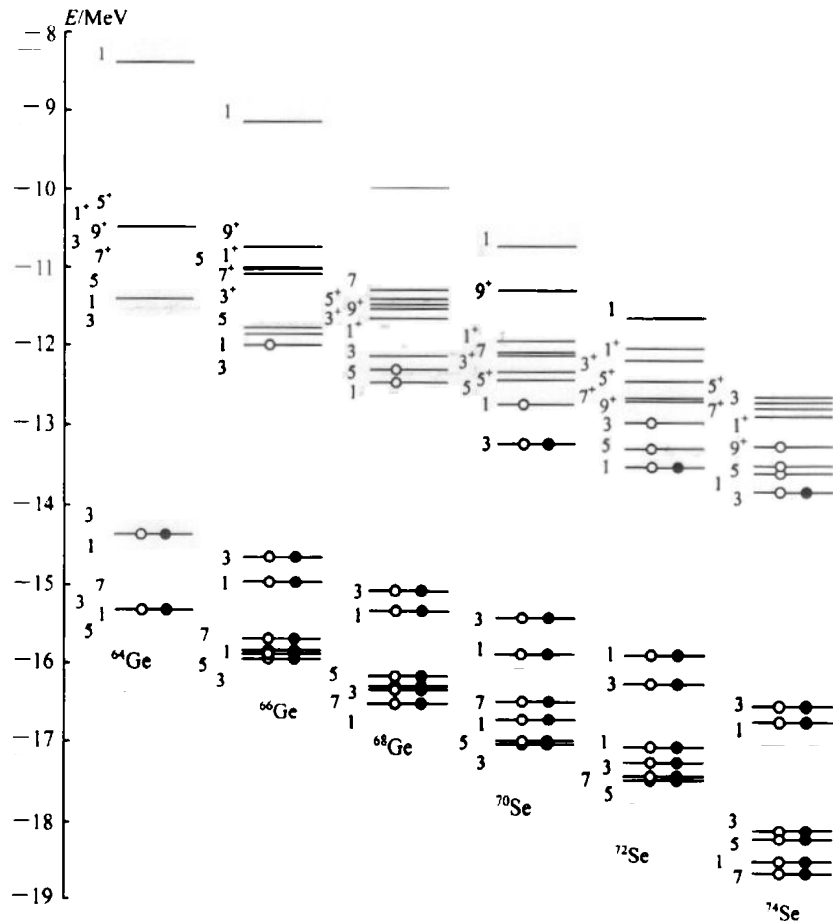


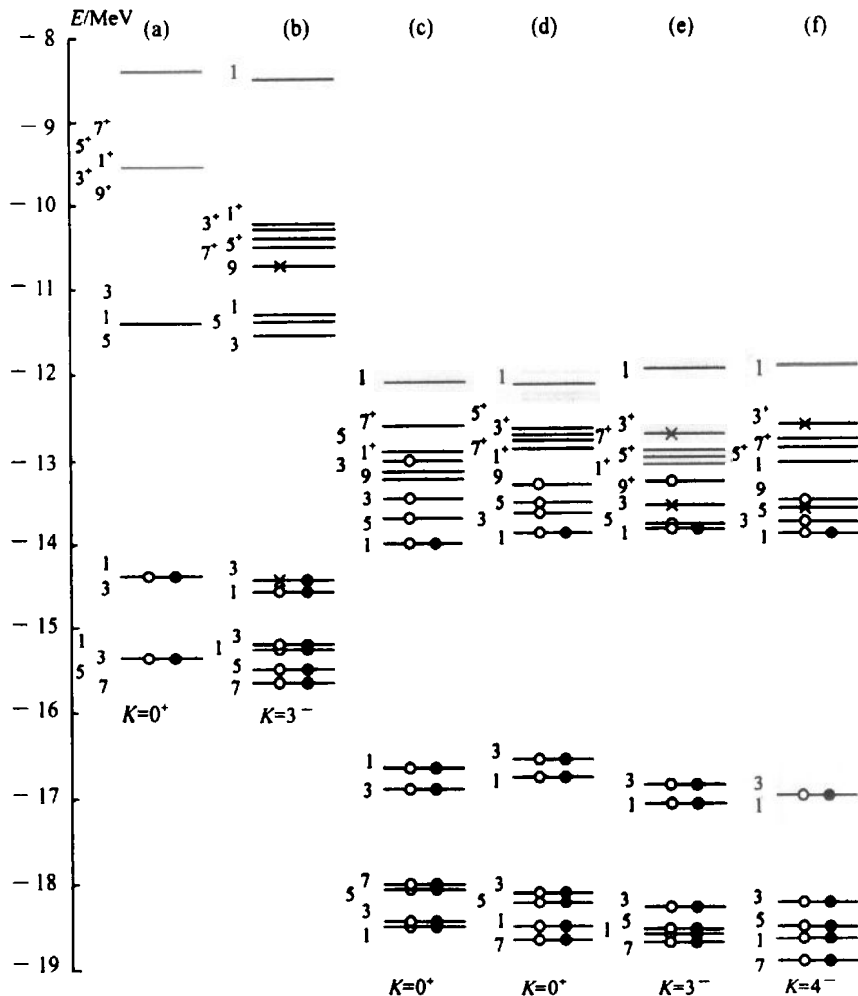
图 1 偶偶 Ge 和 Se 同位素核的基态单粒子能谱

能级旁数字为 $2K$ 值,上标“+”标出具有正字称的 $1g_{9/2}$ 态分出的 5 条能级,其余能级具有负字称。

表1 偶偶 Ge,Se 6 种同位素核相对于核心 $^{40}\text{Ca}_{20}$ 的结合能(单位:MeV)

核 素	^{64}Ge	^{66}Ge	^{68}Ge	^{70}Se	^{72}Se	^{74}Se
形 状	球 形	扁椭球	扁椭球	扁椭球	长椭球	扁椭球
E_{HF}	-198.49	-221.31	-245.28	-247.88	-274.31	-298.78
E_{exp}	-203.91	-227.24	-248.74	-257.93	-280.38	-300.84
ΔE	-5.42	-5.93	-3.46	-9.09	-6.04	-2.06

子能谱中有黑点(代表两个质子)或圆圈(代表两个中子)的能级是被填充能级。可以看出,整个单粒子能谱随着核子数的增加而下降。同时,随着核子数的变化,单粒子能级的顺序和分布状况出现了不同的变化。本来球形单粒子态能量顺序是 $1f_{7/2}, 2p_{3/2}, 1f_{5/2},$

图2 偶偶 ^{64}Ge 和 ^{74}Se 核的基态和激发态单粒子能谱

●和○表示成对核子, × 表示单个核子。图中(a),(b)属于 ^{64}Ge 核,(c),(d),(e)和(f)属于 ^{74}Se 核。图示同图1。

$2p_{1/2}, 1g_{9/2}$, 并逐渐升高, 且 $1f_{5/2}$ 和 $2p_{3/2}$ 单粒子能级相距很近, 而 $1f_{7/2}$ 和 $2p_{3/2}, 2p_{1/2}$ 和 $1g_{9/2}$ 单粒子能级相距较远。但是, 在形变 HF 计算之后, $1f_{5/2}$ 和 $2p_{3/2}$ 之间却出现较大能隙, $1g_{9/2}$ 分出的 5 条能级出现在 $2p_{1/2}$ 之下。这似乎说明 $j = l + 1/2$ (或 $j = l - 1/2$) 各态, 即 $1f_{7/2}, 2p_{3/2}, 1g_{9/2}$ (或 $1f_{5/2}, 2p_{1/2}$) 之间相互“吸引”, 而 $j = l + 1/2$ 与 $j = l - 1/2$ 各态则相互排斥。位于 $1f_{5/2}$ 和 $2p_{1/2}$ 中间用上标“+”标出的 5 条能级是 $1g_{9/2}$ 态分出的正宇称态, 可以看出, 随核子数的增多, $1f_{5/2}$ 和 $2p_{1/2}$ 各态之间“吸引”加剧, 与 $1g_{9/2}$ 各态逐渐形成一个混合区域, 而 $1f_{7/2}$ 和 $2p_{3/2}$ 各态之间排斥加剧, 似乎说明具有正宇称的 $1g_{9/2}$ 各态的介入要增大上述“吸引”和排斥现象。另外, 计算结果表明, 这一质量区内核基态的对称性质变化不大, 可以看

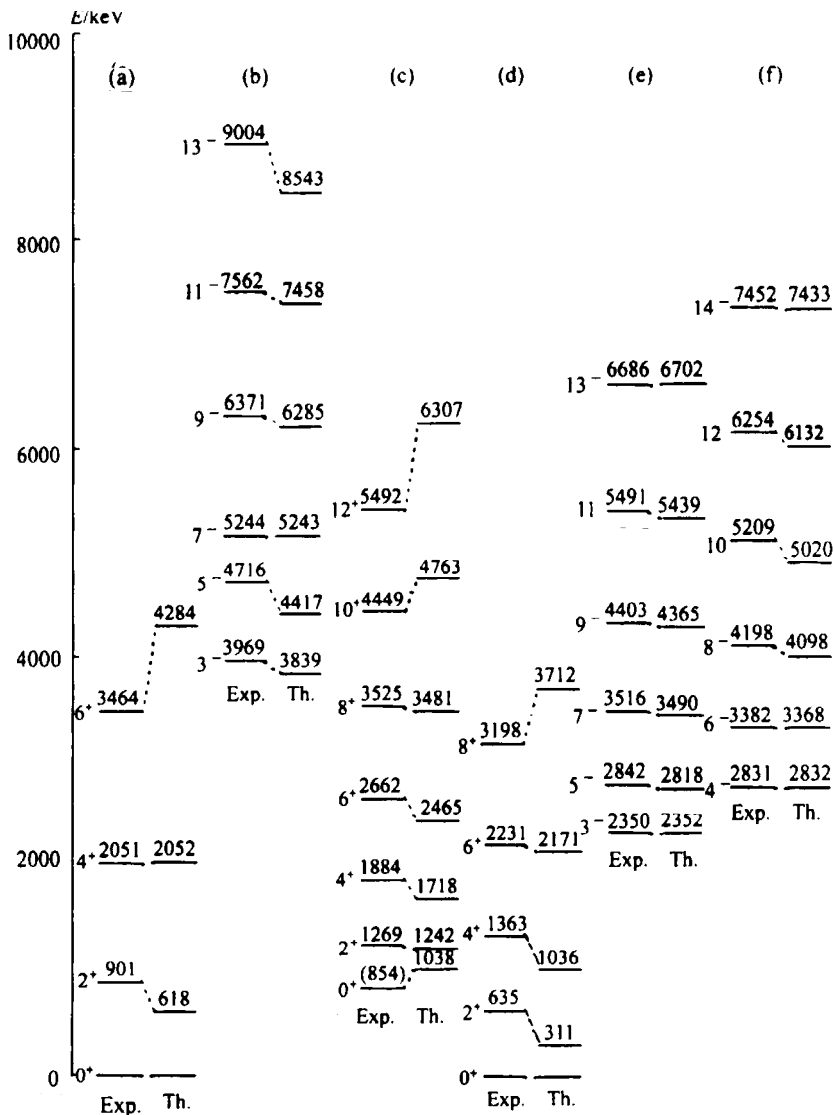


图 3 ^{64}Ge 和 ^{74}Se 核的投影能谱与实验能谱^[10,11]的比较

(a), (b) 属于 ^{64}Ge 核, (c), (d), (e) 和 (f) 属于 ^{74}Se 核。

出⁶⁴Ge 呈球形, 出现这种现象的一个重要原因是此核的质子数和中子数相等, 都是 32, 正好填满能隙之下的 $1f_{7/2}$ 和 $2p_{3/2}$ 两个子壳层。⁷²Se 基本为长椭球, 其余各核大体都显扁形.

图 2 中(a)是偶⁶⁴Ge 核的基态,(b)是激发态单粒子能级图;(c),(d),(e)和(f)是偶⁷⁴Se 核的基态和激发态单粒子能级图, 其中(c),(e)和(f)是⁷⁴Se 的激发态. 对偶偶核, 粒子无论是出现在具有负宇称的 fp 空间各态分出的各条能级上, 还是出现在具有正宇称的 $1g_{9/2}$ 态分出的各条能级上, 只要粒子成对出现, 其基态能谱宇称都是正的, 见图 2 中(a),(d)所示; 当粒子对在 fp 空间各态分出的各条能级及在 $1g_{9/2}$ 态分出的各条能级之间跃迁时, 其激发态能谱宇称也是正的, 见图 2 中(c)所示; 但是, 当一对粒子拆开后, 若其中之一占据 fp 空间中的一条能级, 而另一个占据 $1g_{9/2}$ 态分出的一条能级, 则其激发态能谱宇称便是负的, 见图 2 中(b),(e)和(f)所示. 图 2 各态对应的能谱见图 3.

以偶偶⁶⁴Ge 和⁷⁴Se 核为例, 我们计算出了它的基态及激发态能谱, 且与实验谱做了比较(见图 3), 投影参量见表 2. 计算结果表明, 基态带的理论谱各能级与实验值有差别, 其原因是⁶⁴Ge 和⁷⁴Se 的“基态带”为振动谱, 而投影谱基本上是一种准转动谱. 但这两个核的激发带能谱都具有转动谱的性质, 因此投影能谱与其符合较好. 图 3(b)是偶偶⁶⁴Ge 的具有奇自旋的负宇称带, 可以看出, 其理论谱基本体现出实验谱的特征, 除 3^- 和 5^- 理论值与实验值相差稍大一点之外, 其它各态理论值与实验值都非常接近. 图 3(c),(e)和(f)是偶偶⁷⁴Se 的激发态能谱, 其中(c)是具有偶自旋的正宇称带, 可以看出, 其 10^+ 以下理论值与实验值基本符合; (e)是具有奇自旋的负宇称带, 而(f)是具有偶自旋的负宇称带, 其理论谱与实验谱都符合较好.

表 2 ⁶⁴Ge 和⁷⁴Se 核的一些形变 HF 内禀态 K 值、 E_{HF} 、 Γ_p 和 Γ_h

核 素	K	E_{HF}/MeV	Γ_p	Γ_h
⁶⁴ Ge	0^+	-198.49	0.1093	0.1114
	$3^- (1p - 1h)$	-194.68	0.0335	0.0342
⁷⁴ Se	0^+	-298.78	0.0122	0.0127
	$0^+ (2p - 2h)$	-297.91	0.0120	0.0124
	$3^- (1p - 1h)$	-297.59	0.0100	0.0103
	$4^- (1p - 1h)$	-297.62	0.0099	0.0102

4 结论

本文将 fp 空间扩大到包含具有正宇称的 $1g_{9/2}$ 轨道, 用形变 HF 方法研究同位素核⁶⁴Ge 和⁷⁰⁻⁷⁴Se 的内禀态随中子数的变化情况, 然后用角动量投影方法计算了⁶⁴Ge 和⁷⁴Se 的正、负宇称带能谱. 结果表明, 除“基态带”外, 所有激发带能谱均与实验数据符合较好. 充分说明, PDHF 方法在研究偶偶核正、负宇称能谱结构方面都是比较成功的.

参考文献(References)

- 1 LIAO J Z. Nucl. phys., 1985, **7**:338—343; 1987, **9**:220—229 (in Chinese)
(廖继志. 原子核物理, 1985, 7:338—343; 1987, 9:220—229)
- 2 LIAO J Z. High Energ. Phys. and Nucl. Phys., 1987, **11**:682—688; 1989, **13**:837—841 (in Chinese)
(廖继志. 高能物理与核物理, 1987, 11:682—688; 1989, 13:837—841)
- 3 ZHENG R R, LIAO J Z. The Self-consistent Field Method of Nucleus Symmetry Chengdu: Sichuan University Press, 1993, 51—93 (in Chinese)
(郑仁蓉, 廖继志. 核对称性的自洽场方法, 成都: 四川大学出版社, 1993, 51—93)
- 4 LIAO J Z. High Energ. Phys. and Nucl. Phys., 1989, **13**(4):357—361 (in Chinese)
(廖继志. 高能物理与核物理, 1989, 13(4):357—361)
- 5 MANG H J, Samadi B, RING P Z. Physik, 1976, **A279**:325—331
- 6 Rath A K, Praharaj C R, Khadkikar S D. Phys. Rev., 1993, **C47**:1990—2000
- 7 Tripathi P N, Sharma S K. Phys. Rev., 1986, **C34**:1081—1093
- 8 Aage Behr, Ben R Mottelson. Nuclear Structure, 1969, **V(I)**:145—147
- 9 Audi G, Wapstra A H. Nucl. Phys., 1993, **A565**(1):21—22
- 10 Ennis P J, Lister C J. Nucl. Phys., 1991, **A535**(1):392—424
- 11 Buccino S G, Durham F E. Phys. Rev., 1990, **C42**:1254—1263

Studies on the HF States and the Negative Parity Bands of Even Even Ge and Se Nuclei*

XU Yan-Bing LIAO Ji-Zhi

(Department of Physics, Sichuan University, Chengdu 610064, China)

Abstract Using modified surface delta interaction and enlarging the fp configuration space to include the $1g_{9/2}$ states with the positive-parity, the deformed Hartree-Fock calculations for the six nuclei: ^{64}Ge , ^{66}Ge , ^{68}Ge , ^{70}Se , ^{72}Se and ^{74}Se are performed. The ground-state and some particle-hole excited configurations are obtained. The approximate angular momentum projected Hartree-Fock (PDHF) method is applied to nuclei ^{64}Ge and ^{74}Se . Both of their positive-and negative-parity bands are obtained. The calculated energy spectra are consistent with experimental spectra well.

Key words deformed HF state, angular momentum projection, single-particle energy spectra, negative-parity band

Received 5 July 2001

* Supported by NSFC (19875040)